

**ISABELLA BOLOGNA SALOMÃO
RENATO DE OLIVEIRA FREITAS**

**REDE DE DIPOSITIVOS PARA
MONITORAMENTO DE QUALIDADE E
CONFORTO EM ESCRITÓRIOS**

São Paulo
2020

**ISABELLA BOLOGNA SALOMÃO
RENATO DE OLIVEIRA FREITAS**

**REDE DE DIPOSITIVOS PARA
MONITORAMENTO DE QUALIDADE E
CONFORTO EM ESCRITÓRIOS**

Relatório parcial apresentado ao PCS -
Computação e Sistemas Digitais, da Escola
Politécnica da Universidade de São Paulo.

Orientadores:

Prof. Dr. Gustavo P. Rehder

Prof.^a Dra. Cíntia Borges Margi

Empresa:

PullUp

Eng. Conrado Leite de Vitor

São Paulo
2020

RESUMO

Soluções para o monitoramento de parâmetros que remetem à qualidade e conforto de ambientes internos vêm se tornando interessantes, dado o aumento no tempo que pessoas passam nesse tipo de ambiente, como escritórios. A partir da coleta desses dados, é possível adotar medidas para tornar o local estudado mais saudável e confortável para as pessoas ali presentes. O objetivo desse trabalho é desenvolver uma rede de dispositivos eletrônicos *Open Source* capaz de monitorar escritórios fechados, realizando a medição através de sensores de dados referentes à qualidade do ar, temperatura, luminosidade e ruído, e coletando a opinião das pessoas sobre sua sensação de conforto no ambiente, para apresentar relatórios sobre o local em uma plataforma a fim de tomar ações para garantir o conforto de seus ocupantes.

Palavras-Chave – Internet of Things, Conforto Térmico, Conforto Acústico, Conforto Luminoso, Qualidade do Ar, Wireless Sensor Network, Green Buildings, Smart Office.

SUMÁRIO

1	Introdução	4
1.1	Declaração da Necessidade	4
1.2	Descrição do Problema	5
1.3	Árvore de Objetivos	6
2	Conforto em Ambientes Fechados	7
2.1	Indicadores de Qualidade e Conforto	7
2.1.1	Regulamentações e Normas	7
2.1.2	Conforto Visual	8
2.1.3	Qualidade do Ar	8
2.1.3.1	CO2	9
2.1.3.2	VOC	9
2.2	Soluções de Monitoramento	10
3	Especificação Técnica	12
3.1	Arquitetura da Rede	12
3.1.1	Conexão de Dispositivos	12
3.1.2	Banco de Dados	15
3.2	Arquitetura do Dispositivo	16
3.2.1	<i>Processador</i>	16
3.2.2	Sensores	17
3.2.3	Sistema de coleta de Feedback	18
3.2.4	Alimentação	18
	Referências	20

1 INTRODUÇÃO

1.1 Declaração da Necessidade

Com o aumento do tempo que as pessoas passam em ambientes fechados, como escritórios, há também, nos últimos anos, um crescente interesse em monitorar e controlar tais ambientes, visando uma melhora na saúde e conforto das pessoas, e também um aumento na sua produtividade. Espaços que implementam essas soluções são comumente chamados de prédios inteligentes (*smart buildings*, do inglês). É possível até mesmo que esse controle seja utilizado para uma atuação de maneira energeticamente sustentável e, dentro desse contexto, surgem os *green buildings* (em português, construções sustentáveis) [1] [2].

No desenvolvimento de construções civis sustentáveis, torna-se necessário que seja pensada a implementação automatizada deste monitoramento dos ambientes desde o projeto da edificação e sua concepção, ocorrendo de forma integrada à construção. Uma pesquisa mais aprofundada sobre o conforto dos ambientes pode interferir no projeto, de modo que sejam repensados materiais utilizados e sistemas de aquecimento, ventilação, iluminação, dentre outros. Assim como a sua implementação, pesquisas na área de conforto têm ser tornado cada vez mais importantes.

Foi com essa necessidade e a proposta de desenvolver um dispositivo eletrônico que o professor Vanderley M. John, do departamento de Construção Civil da Poli (PCC) e coordenador do CICS (Centro de Inovação em Construção Sustentável da USP)[3], entrou em contato. A ideia é que seja desenvolvido um dispositivo capaz de fazer medições de parâmetros relacionados ao conforto nos ambientes internos de uma construção, coletando também a opinião das pessoas ali presentes acerca de seu bem-estar, para assim saber o real impacto dos indicadores de conforto. Para analisar todo o ambiente, é importante que existam diversos dispositivos espalhados para maior cobertura. A fim de analisar ambos os dados (medições do ambiente e opiniões), é interessante que esses dispositivos estejam conectados e integrados a uma central.

Assim, a construção de uma rede de dispositivos sensoreados tem, além de uma aplicação prática monitorando a qualidade para as pessoas, também grande utilidade em pesquisas de construção civil e arquitetura, com medições mais precisas e incluindo um elemento muitas vezes deixado de lado: o fator humano.

Em edifícios, escritórios são hoje os que ocupam a maior área física e tem o maior consumo de energia, sendo sistemas de iluminação, aquecimento e resfriamento (como ar condicionados) os principais causadores do alto consumo[2]. Por isso, escritórios são o nicho escolhido para a implementação dessa rede de dispositivos, podendo ser testada nas salas do departamento de Construção Civil ou do CICS.

1.2 Descrição do Problema

O conforto e a qualidade em ambientes internos são determinados através de quatro principais indicadores: **térmico, acústico, luminoso e olfativo/qualidade do ar**[4].

Para que seja possível monitorar esses indicadores, é necessário medirmos diversos dados a respeito do ambiente em questão:

- Térmico: temperatura ambiente e umidade relativa
- Acústico: ruído ambiente
- Luminoso: intensidade e temperatura da luz incidente
- Qualidade do ar (e Olfativo): CO₂ e VOC (*volatile organic compounds*)

Não apenas esses elementos são importantes, mas também a combinação deles afeta a percepção de conforto pelas pessoas [5]. Assim, faz-se mais necessário que haja uma medição completa dos elementos presentes no ambiente a ser estudado. Além disso, é interessante que essas medições estejam atreladas a opinião das pessoas a respeito do ambiente, sabendo se estão confortáveis, sendo necessário um sistema que possa coletar um *feedback* das pessoas no escritório.

Todos os dados coletados, tanto das variáveis do ambiente quanto a opinião das pessoas, precisam ser salvos e disponibilizados para análise. Assim, será necessária a existência de conectividade nos dispositivos, junto de uma plataforma em nuvem com um banco de dados e uma interface visual para que seja feita essa análise.

1.3 Árvore de Objetivos

A árvore de objetivos é uma representação gráfica dos meios necessários, chamados objetivos específicos, para alcançar o objetivo geral do projeto. Para atingir o objetivo geral do projeto, que é a realização de uma rede de dispositivos para monitorar ambientes, foram enunciados três objetivos específicos, mostrados na figura 1, com a porcentagem de dedicação ao lado de cada um.

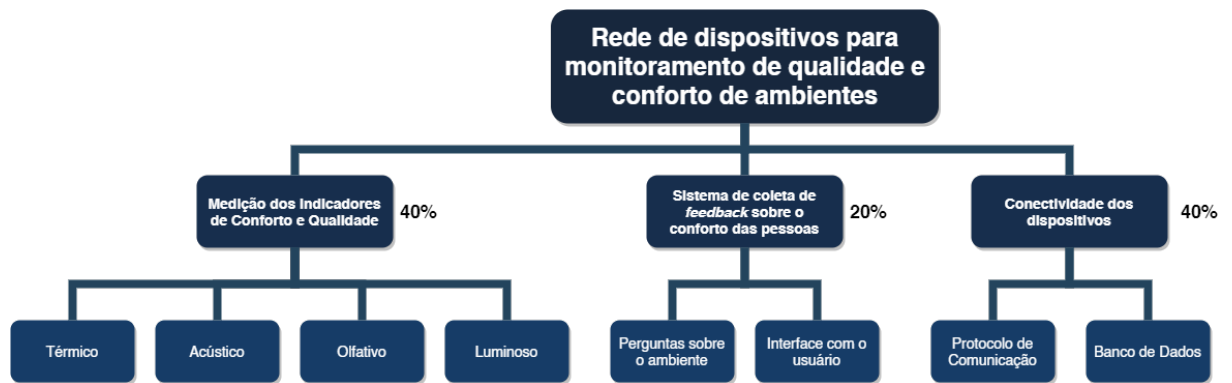


Figura 1: Árvore de objetivos do projeto

2 CONFORTO EM AMBIENTES FECHADOS

2.1 Indicadores de Qualidade e Conforto

Como qualidade e conforto são termos subjetivos, vamos tratar aqui como "qualidade do ambiente" as condições recomendadas por normas e pesquisas, para os quatro indicadores. Isto é, será considerado um ambiente de boa qualidade o que atender às faixas de operação pré-determinadas, funcionando como um aviso para o ocupante caso as medidas indiquem que os parâmetros do ambiente estão fora do recomendado.

Já o conforto será atrelado à percepção do usuário quanto ao ambiente. Apesar de o ambiente ser considerado saudável ou de qualidade, existem muitos fatores que afetam a sensação das pessoas, de forma que apenas a definição de uma faixa de operação não implica em bem-estar.

2.1.1 Regulamentações e Normas

A legislação brasileira determina os valores máximos e mínimos dos indicadores de conforto no ambiente para que haja boas condições de trabalho:

NR17 do Ministério do Trabalho [6]

17.5. Condições ambientais de trabalho.

17.5.2. Nos locais de trabalho onde são executadas atividades que exijam solicitação intelectual e atenção constantes, tais como: salas de controle, laboratórios, escritórios, salas de desenvolvimento ou análise de projetos, dentre outros, são recomendadas as seguintes condições de conforto:

- a) níveis de ruído de acordo com o estabelecido na NBR 10152, norma brasileira registrada no INMETRO;
- b) índice de temperatura efetiva entre 20oC (vinte) e 23oC (vinte e três graus centígrados);
- [...]

d) umidade relativa do ar não inferior a 40 (quarenta) por cento.

17.5.2.1. Para as atividades que possuam as características definidas no subitem 17.5.2, mas não apresentam equivalência ou correlação com aquelas relacionadas na NBR 10152, o nível de ruído aceitável para efeito de conforto será de até 65 dB (A)

[...]

17.5.3.3. Os níveis mínimos de iluminamento a serem observados nos locais de trabalho são os valores de iluminâncias estabelecidos na NBR 5413, norma brasileira registrada no INMETRO.

NBR 10152 [7] para Escritórios

Salas de reunião: 30 - 40 dB(A)

Salas de gerência, Salas de projetos e de administração: 35 - 45 dB(A)

Salas de computadores: 45 - 65 dB(A)

Salas de mecanografia: 50 - 60 dB(A)

NBR 5413 [8]

Para escritórios: 500 - 750 - 1000 lux

2.1.2 Conforto Visual

Além da **intensidade da luz incidente**, cujos níveis são estabelecida na legislação, a **temperatura da cor** da luz incidente também tem grande relevância. A muitos anos sabe-se que a luz azul emitida, de maior temperatura, causa danos à retina [9].

Assim, temperatura é um parâmetro importante para a qualidade do ambiente, muitas vezes deixado de lado, e assim como na saúde, afeta diretamente o conforto e a atenção das pessoas, como visto em [10]:

- Conforto, luz natural: 3000K - 6000K
- Concentração: acima de 5300K

2.1.3 Qualidade do Ar

Não há, na legislação brasileira, informações sobre a qualidade do ar. Isto é, concentrações de CO₂ e VOC.

A norma a seguir fala a margem esperada, mas também sem recomendações de operação.

ISO 16017-2:2003

is applicable to the measurement of airborne vapours of VOCs in a concentration range of approximately 0,002 mg/m³ to 100 mg/m³ individual organic for an exposure time of 8 h

Por conta disso, vamos nos basear em estudos que tentam relacionar as concentrações de CO₂ e de VOC com efeitos na saúde e produtividade das pessoas.

2.1.3.1 CO₂

Segundo [11], o CO₂ apresenta concentrações mais altas em ambientes fechados, esperando-se entre 700 e 2000 ppm, em comparação a cerca de 400ppm em ambientes abertos em áreas urbanas[12].

O CO₂, além de ser um gás asfixiante e perigoso em altas concentrações (acima de 40000ppm), também pode afetar a saúde quando em níveis moderados (abaixo de 2000ppm). De acordo com o *Winsconsin Department of Health Services*[13], são os efeitos causados na saúde:

- 250-400ppm: Normal, concentração ambientes abertos
- 400-1,000ppm: concentração típica em lugares fechados com pessoas, com boa circulação de ar
- 1,000-2,000ppm: pode causar cansaço e falta de ar
- 2,000-5,000 ppm: dores de cabeça, sonolência, e falta de ar mais intensa. Baixa concentração, perda de atenção, aumento da frequência cardíaca, e náusea
- 40,000 ppm: Pode causar séria insuficiência respiratória, danos permanentes ao cérebro, coma e até a morte

2.1.3.2 VOC

Compostos orgânicos voláteis, ou VOC (do inglês, *Volatile organic compounds*, são partículas que ficam suspensas no ar, podendo vir de produtos (sintéticos ou naturais) utilizados no ambiente, como tintas, solventes, produtos de limpeza, perfumes que podem causar odor perceptível pelo ser humano[11].

A concentração esperada é entre 0.2 e 0.5 mg/m³, e mesmo que nem todos os compostos presentes no ar sejam nocivos à saúde, por precaução é recomendado que estes sigam: [14]

TVOC Level [mg/m ³]	Level of Concern
Less than 0.3 mg/m ³	Low
0.3 to 0.5 mg/m ³	Acceptable
0.5 to 1 mg/m ³	Marginal
1 to 3 mg/m ³	High

2.2 Soluções de Monitoramento

A tabela a seguir mostra algumas das principais soluções encontradas no mercado para monitoramento de ambientes fechados:

Projeto	Térmico	Luminoso	Acústico	Ar	Conectividade
Multi comfort [15]	Sim*	Sim*	Sim*	Sim*	Sim*
MC350[16]	Sim*	Sim*	Sim*		Bluetooth, App
Metriful Sense[17]	Temperatura, Umidade, Pressão	Intensidade	Volume, Frequência	VOC	
CoMoS[18]	Temperatura, Umidade, Veloc Ar	Intensidade			Wifi, SW Web
HC tech[19]	Temperatura, Umidade	Intensidade			Sigfox, SW Web
ECOMLITE [20]	Temperatura, Umidade, Pressão		Volume	CO ₂ , VOC, CO, NO ₂	Wi-fi, Zigbee, Ethernet, SW Web
Netatmo[21]	Temperatura, Umidade,		Volume	CO ₂	Wi-fi, App
Senlab O[22]	Temperatura, Umidade	Intensidade			LoRa
Comfort Click[23]	Temperatura, Umidade		Volume		Wi-fi, App

(*) Solução não detalhada pela construtora

Ao observar as soluções existentes no mercado, é possível ver que a maioria atende a apenas alguns dos indicadores.

Multi Comfort [15], a solução mais completa encontrada, trata-se de uma sistema desenvolvido pela construtora Saint-Gobain de forma integrada à construção do edifício. Como apresentado pelo prof. Vanderley (PCC), o monitoramento e automação na construção civil vem crescendo nos últimos anos, de forma que soluções desse tipo tendem

a tornar-se mais comuns. Apesar de atender aos 4 indicadores de qualidade e conforto, essa solução não apresenta detalhes sobre as medições que são feitas, quais os elementos medidos ou a precisão dessas medições, assim como sobre a sua conectividade. Também apresenta grande dificuldade para integração em um ambiente já construído. Nesse contexto, é introduzido o equipamento MC350[16] - da mesma empresa -, mas que não atende mais a todos os indicadores.

Em seguida, temos o Metriful Sense [17], que também atende a todos os indicadores de conforto, que é um produto novo em *crowdfunding*. Diferentemente das demais, esse não é um dispositivo completo, mas uma plataforma de sensores projetada para o monitoramento de ambientes, que necessita de uma interface com outro processador e possivelmente com um módulo *wireless* para que haja conexão com uma plataforma de análise.

Os demais produtos atendem em média apenas dois dos indicadores de conforto, sendo apenas o conforto térmico presente em todos. O conforto luminoso, quando presente, é atendido de forma superficial, sendo medida apenas a intensidade da luz e não a temperatura, que é um elemento importante na sensação de conforto [10]. Já no monitoramento da qualidade do ar, apenas uma das soluções [20] (cuja especificação está disponível) mede ao menos os dois principais elementos indicadores [11].

Vemos, assim, que nenhum dos produtos existentes no mercado atende a todos os requisitos levantados para a nossa aplicação. A proposta aqui é o desenvolvimento de um dispositivo que monitore a qualidade e o conforto do ambiente atendendo a todos os indicadores apresentados de forma completa, e com uma medição mais aprofundada em conforto luminoso e qualidade do ar que os projetos comparados.

Além disso, nenhuma das soluções encontradas envolve diretamente a opinião das pessoas frequentando o ambiente na análise dos seus dados, apenas no controle do ambiente quando esse não atende os requisitos de qualidade ou de conforto.

Vale destacar, por fim, que na maioria dos casos essas soluções são fechadas, com protocolos que dificultam a integração dos dispositivos com outros que possam complementá-los em seu funcionamento, ou de forma que seja possível uma centralização da análise dos dados coletados. Desenvolvendo um projeto *open-source* e com protocolos padrão de comunicação sem fio, isso deixa de ser um problema.

3 ESPECIFICAÇÃO TÉCNICA

3.1 Arquitetura da Rede

3.1.1 Conexão de Dispositivos

Como citado anteriormente, as medições realizadas pelos dispositivos precisam ser salvas e enviadas para algum local de armazenamento, para posterior análise, exigindo que seja estabelecido um protocolo de conexão.

Com o crescimento do conceito de Internet das Coisas, novas tecnologias para conexão rápida, segura e fácil de dispositivos são criadas e utilizadas por desenvolvedores em inúmeras aplicações. Segundo a pesquisa *Embedded Markets Study* realizada pela empresa Aspencore[24] e apresentada pelos meios EETimes[25] e Embedded[26] em 2019, as interfaces sem fio mais utilizadas por desenvolvedores em projetos de sistemas embarcados são Wi-Fi, *Bluetooth Low Energy (BLE)* e *Bluetooth Classic*. Essa pesquisa também aponta os protocolos de comunicação sem fio mais utilizados, dentre eles *BLE mesh*, Zigbee, 6LoWPAN e Thread.

Wi-Fi é uma família de tecnologias designadas para comunicação sem fio baseada no padrão IEEE 802.11[27], amplamente utilizada em redes de área local (em inglês *local area network*, LAN) para prover acesso à internet como uma alternativa à tecnologia cabeada Ethernet. Essa tecnologia opera nas faixas de 2,4Ghz e 5GHz, sendo que a primeira permite uma taxa de transmissão de até 600 Mbits/s e a segunda até 1 Gbit/s em casos mais extremos[28]. A topologia comum de uma rede Wi-Fi é dada por um dispositivo que atua como ponto de acesso que disponibiliza o sinal sem fio para que dispositivos ao seu redor possam se conectar à rede, em uma topologia de rede em estrela. Deste modo, os dispositivos têm que estar a uma distância de poucos metros do ponto de acesso para que a comunicação não seja afetada, sendo essa distância cerca de 76m a 122m em ambientes internos[29], dependendo da antena utilizada.

Outra norma comumente utilizada em redes sem fio é a IEE 802.15.4, que define es-

pecificações de camada física para redes de comunicação sem fio que operam com baixa taxa de transmissão de dados (em inglês, *Lower Rate Wireless Personal Area Network*, ou LR-WPAN), que também utiliza a banda de frequência de 2,4GHz[30]. Os nós participantes da rede podem ser do tipo "função completa" (em inglês, *full-function device* (FFD)), agindo como coordenador da rede, podendo retransmitir mensagens para outros nós, ou do tipo "função reduzida" (em inglês, *reduced-function device* (RFD)), destinados a serem dispositivos simples e com poucos requisitos de comunicação, podendo apenas se comunicar com FFDs. As especificações Zigbee, 6LoWPAN e Thread são baseadas nessa norma.

Por último, dentre as tecnologias citadas anteriormente, o Bluetooth surgiu com objetivo inicial de substituir a conexão por fios entre dispositivos móveis comuns como celulares e fones de ouvido, porém já evoluiu muito e pode ser encontrada em diversas aplicações. Em 2009, a *Bluetooth Special Interest Group* (Bluetooth SIG, organização que gerencia o desenvolvimento do padrão Bluetooth) definiu uma nova versão de baixo consumo energético, chamada de *Bluetooth Low Energy* (BLE), visando aplicações em que não é necessária comunicação contínua como, por exemplo, sensores que coletam dados em intervalos de tempo espaçados. O BLE vem se tornando uma das principais tecnologias para aplicações IoT, principalmente por estar presente na maioria dos dispositivos mais comuns utilizados no dia-a-dia das pessoas, como computadores, *smartphones* e *tablets*, o que facilita a comunicação do usuário com outros dispositivos específicos. As aplicações BLE operam a 2,4GHz com taxas de transmissão entre 0,27 e 1,37 Mbps[31].

Os protocolos citados possuem, em geral, topologias de rede baseadas em estrela, com vários dispositivos periféricos conectados a um central, ou em árvore, que pode ser vista como várias redes em estrela interconectadas. No segundo caso, apenas os dispositivos centrais de cada rede em estrela poderia se comunicar com as outras, atuando como um dispositivo de borda. Desse modo, a conexão entre dispositivos periféricos e central da rede se dá de forma ponto-a-ponto, o que gera uma dependência forte do central e, caso ele apresente algum problema, pode afetar o funcionamento da rede inteira.

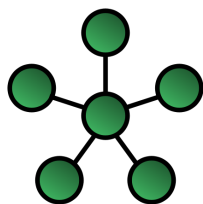


Figura 2: Topologia de rede em estrela

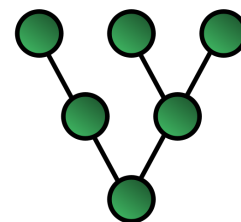


Figura 3: Topologia de rede em árvore

O crescimento e evolução das aplicações IoT requer topologias mais novas e complexas, com a capacidade de se ajustarem dinamicamente caso ocorra alguma mudança na rede. Com isso em mente, soluções de redes em malha começam a surgir nos protocolos anteriormente citados. Nessa topologia, os nós ficam interligados de forma não-hierárquica, permitindo a comunicação *many-to-many* entre os dispositivos da rede, possibilitando que dados de um ponto qualquer seja enviado a outro ponto qualquer da rede.

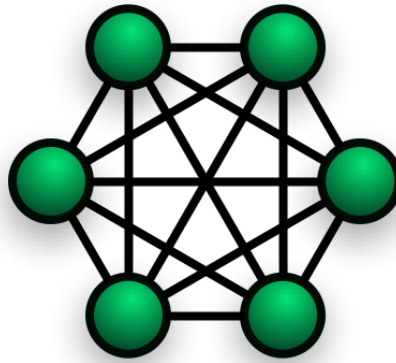


Figura 4: Topologia de rede em malha

Dada essa necessidade, FALAR QUE SURGIRAM SOLUÇÕES MESH PRAS TECNOLOGIAS ANTERIORES.

CITAR ESTUDOS QUE COMPARAM ELAS, LIGANDO PRO GRÁFICO ABAIXO.

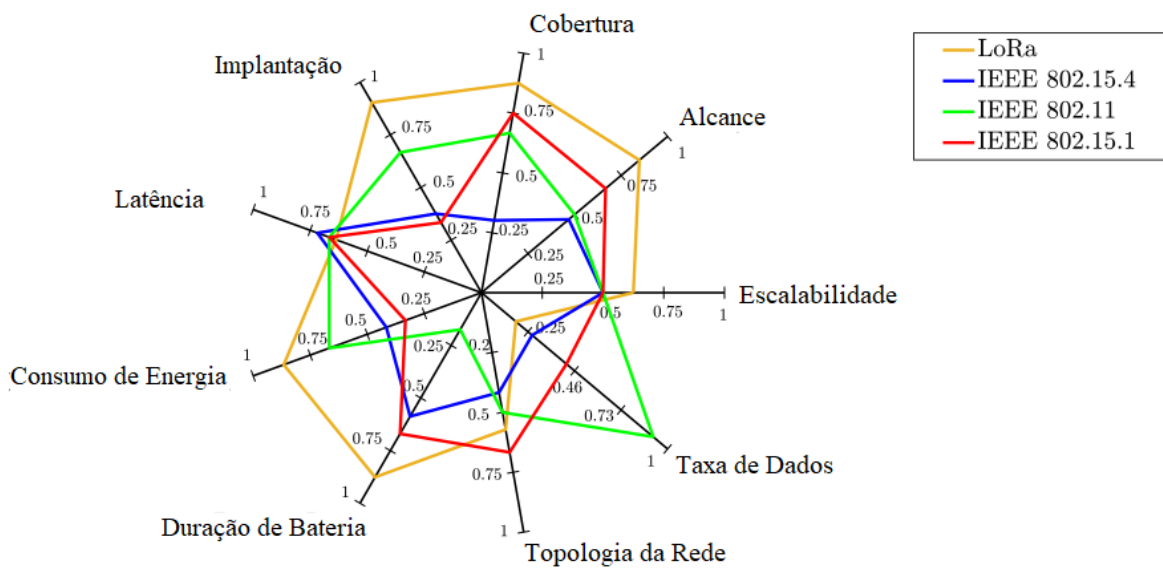


Figura 5: Comparação de performance entre 4 tecnologias de rede sem fio, em topologia de malha, de acordo com 9 parâmetros. Retirado de [32] (traduzido).

Dados os requisitos desse projeto, os dispositivos serão interconectados por meio de

uma rede *Bluetooth Mesh*, disponibilizando dados de medições dos sensores e *feedback* ao longo do dia por toda a rede. Como estamos utilizando um dispositivo com conectividade tanto Bluetooth quanto Wi-Fi, um dos dispositivos da rede estará conectado também à internet via Wi-Fi, para que seja possível enviar os dados coletados pela rede para um banco de dados localizado em um servidor externo ao sistema, possibilitando o acesso remoto aos dados.

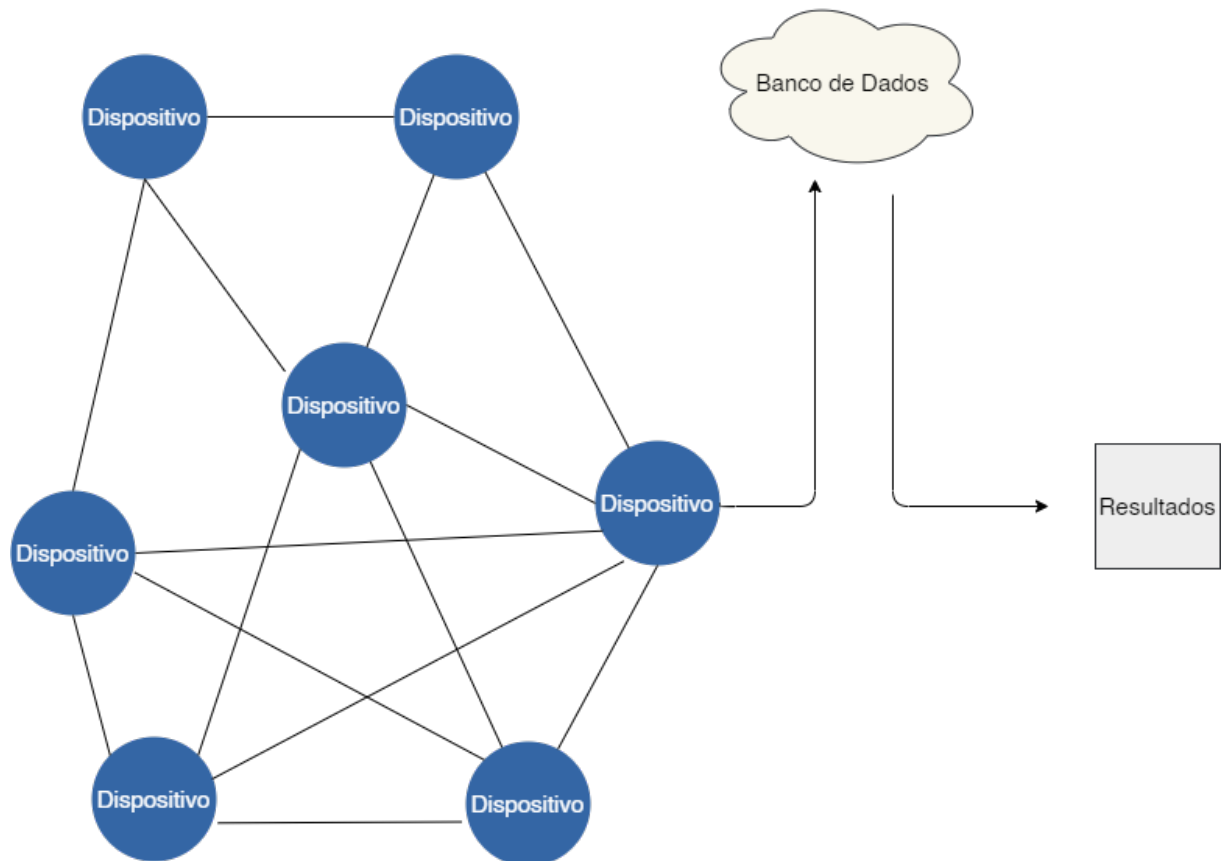


Figura 6: Arquitetura da rede de dispositivos

3.1.2 Banco de Dados

Outro requisito comumente encontrado em dispositivos IoT focados em monitoramento é a alta disponibilidade de dados para que esse monitoramento em questão seja realizado de forma eficiente. Isso faz com que soluções de armazenamento em nuvem sejam boas alternativas, já que os dados estariam armazenados em um servidor externo ao sistema, possibilitando o seu acesso remotamente. Grandes empresas de tecnologia oferecem plataformas de desenvolvimento com interfaces de programação de aplicações (API, do inglês *application programming interface*) que facilitam o desenvolvimento de bancos de dados conectados.

Para esse projeto, usaremos a solução AWS da Amazon, especificamente o serviço **AWS IoT Core** [33], que é um serviço que permite conexão de dispositivos a aplicativos em nuvem. Ele será utilizado em conjunto com o banco de dados NoSQL DynamoDB da própria plataforma.

3.2 Arquitetura do Dispositivo

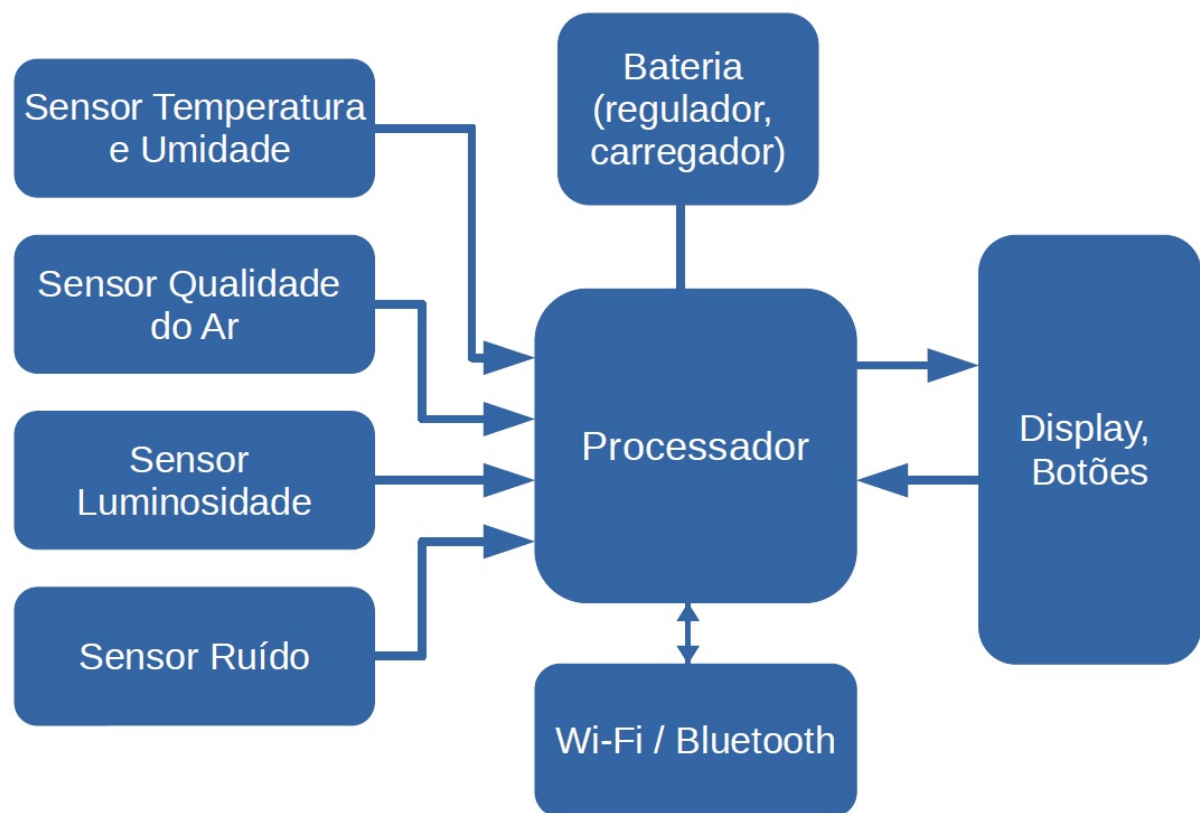


Figura 7: Diagrama de Blocos do Hardware do Dispositivo

3.2.1 *Processador*

De acordo com a mesma pesquisa da Aspencore citada anteriormente, 61% dos projetos de sistemas embarcados usam processadores de 32-bits, e 65% utiliza algum tipo de sistema operacional.

Pensando nisso e listando os periféricos necessários para comunicação com os periféricos (descritos a seguir), selecionamos as principais opções existentes no mercado de microcontroladores, para atuar como processador central do dispositivo.

Como existem a comunicação dos dispositivos é uma funcionalidade crucial, juntamos

também opções de *System-on-a-Chip*, ou SoC, é o nome dado a um circuito integrado que engloba processador (ou geralmente microcontroladores, em dispositivos embarcados), periféricos, memória e outros módulos, como circuitos para comunicação sem fio.

tabela ST ESP32 NORDIC

optamos por usar um ESP32.

Para decidir entre as três opções apresentadas, analisamos os ambientes de desenvolvimento disponíveis, a documentação disponível e o preço dos CIs e seus kits de desenvolvimento.

ESP32[34] é uma família de *SoCs* da Espressif que possui um microcontrolador integrado às tecnologias Wi-Fi e Bluetooth. Por ter um bom suporte e ferramentas de desenvolvimento focadas em BLE e Wi-Fi, além de ter um dos menores preços, foi nossa escolha como melhor custo-benefício.

Especificações do ESP32: [35]

- **Processador:** Xtensa 32-bits, dual core
- **Wi-Fi:** 802.11 b/g/n
- **Bluetooth:** v4.2 BR/EDR e BLE

3.2.2 Sensores

A fim de atender aos critérios apresentados para o monitoramento, foram escolhidos os seguintes sensores:

- **AS7262**[36], da AMS:

Atende aos requisitos de medição de *conforto luminoso*.

Medidas: Intensidade e cor da luz incidente.

A cor da luz, nesse sensor, é medida através de 6 canais, correspondendo aos espectros de luz vermelha (650nm), laranja (600nm), amarela (570nm), verde (550nm), azul (500nm) e violeta (450nm), ao invés de simples RGB, com resolução de 16 bits.

Comunicação: I²C, SPI ou UART (configurável)

- **BME280** [37], da Bosch:

Atende aos requisitos de *conforto térmico*.

Medidas:

- Temperatura entre -40 e 85°C , com precisão de $\pm 1.0^{\circ}\text{C}$
- Umidade relativa com precisão de $\pm 3\%$
- Pressão entre 300 e 1100hPa, com precisão ± 1 hPa

Comunicação: SPI ou I²C

- **SGP30** [38]:

Sensor para medições de aplicação *indoor*.

Medidas:

- TVOC entre 0 ppb e 60000 ppb, com resolução de 1ppb
- CO_2 entre 400 ppm e 60000 ppm, com resolução de 1ppb

Comunicação: I²C

- **Microfone de Eletreto:**

Em conjunto com um circuito amplificador, atende aos requisitos de *conforto acústico*.

Medida: volume de ruído sonoro ambiente

Comunicação: Analógica, precisão de 12 bits (resolução do conversor analógico-digital do ESP32).

3.2.3 Sistema de coleta de Feedback

Para a coleta do *feedback* nos dispositivos, optamos por utilizar um display e 2 botões.

3.2.4 Alimentação

Para alimentar os dispositivos, foi pensado em utilizar uma bateria de Lítio-Polímero, de uma célula (1S), por ter a maior densidade energética dentre as baterias recarregáveis, permitindo que o dispositivo seja portátil e não dependente da rede elétrica. A capacidade da bateria será definida com base nos testes de consumo do equipamento nas etapas finais de desenvolvimento do protótipo.

A bateria LiPo tem tensões de operação entre 3.5 e 4.2 Volts. Para alimentar o circuito foi optado por elevar a tensão para 5V, através de um regulador chaveado boost, ainda não definido.

Para fazer a recarga da bateria de forma eficiente e segura, foi pensado em um circuito carregador utilizando o CI TP4056 [39], alimentado por 5V através de um conector USB-micro. Com esse CI é possível também que o circuito opere enquanto a bateria está sendo recarregada.

REFERÊNCIAS

- 1 Kumar, A.; Hancke, G. P. An energy-efficient smart comfort sensing system based on the ieee 1451 standard for green buildings. *IEEE Sensors Journal*, v. 14, n. 12, p. 4245–4252, 2014.
- 2 Tuan Anh Nguyen and Marco Aiello. Energy intelligent buildings based on user activity: A survey. *Energy and Buildings*, v. 56, p. 244–257, 2013.
- 3 CICS website (<http://cics.prp.usp.br/>). Disponível em: <http://cics.prp.usp.br/>.
- 4 Ciabattoni, L. et al. Iot based indoor personal comfort levels monitoring. *2016 IEEE International Conference on Consumer Electronics (ICCE)*, p. 125–126, 2016.
- 5 Li Huang, Yingxin Zhu, Qin Ouyang, Bin Cao. A study on the effects of thermal, luminous, and acoustic environments on indoor environmental comfort in offices. *Building and environment*, v. 49, p. 304–309, 2012.
- 6 NR17. *Ergonomia*. [S.l.], 2018. Disponível em: https://enit.trabalho.gov.br/portal/images/Arquivos_SST/SST_NR/NR-17.pdf.
- 7 NBR10152. *Níveis de ruído para conforto acústico*. [S.l.], 1987. Disponível em: http://www.joaopessoa.pb.gov.br/portal/wp-content/uploads/2015/02/NBR_10152-1987-Conforto-Ac_stico.pdf.
- 8 NBR5413. *Iluminância de Interiores*. [S.l.], 1992. Disponível em: <http://ftp.demec.ufpr.br/disciplinas/TM802/NBR5413.pdf>.
- 9 J. O’S Hagan, M. Khazova and L. Price. Low-energy light bulbs, computers, tablets and the blue light hazard. *Eye*, v. 30, p. 230–233, 2016.
- 10 Gao, Q.; Zhang, K.; Li, D. Research on visual comfort based on fuzzy neural network. p. 884–888, 2018.
- 11 A.P. Jones. Indoor air quality and health. *Atmospheric Environment*, v. 33, p. 4525–4564, 1999.
- 12 EARTH, C. *Daily CO2*. Disponível em: <https://www.co2.earth/daily-co2>.
- 13 CARBON Dioxide. Disponível em: <https://www.dhs.wisconsin.gov/chemical/carbondioxide.htm>.
- 14 GROUP, T. *What are acceptable VOC levels in the air*. Disponível em: <https://www.tecamgroup.com/acceptable-voc-levels/>.
- 15 GOBAIN, S. *MULTI COMFORT*. Disponível em: <https://multicomfort.saint-gobain.com/>.

- 16 GOBAIN, S. *MultiComfort 350*. Disponível em: <https://www.saint-gobain.com.br/mc350>.
- 17 METRIFUL. *Metriful Sense*. Disponível em: <https://www.metriful.com/>.
- 18 SPACE, L. L. smart office. *CoMoS Comfort Monitoring Station*. Disponível em: <http://www.livinglab-smartofficespace.com/en/research/heat-and-thermal-comfort/detail/comos-comfort-monitoring-station/>.
- 19 HC Technologies. *RETAIL SPACE COMFORT MONITORING*. Disponível em: <https://www.hc-technologies.com/retail-iot-solutions/store-ambient-comfort-monitoring>.
- 20 ENTECH. *ECOMLITE monitoring indoor comfort*. Disponível em: <https://www.entech.co.th/product/ecomlite/>.
- 21 NETATMO. *Smart Indoor Air Quality Monitor*. Disponível em: <https://www.netatmo.com/el-gr/aircare/homecoach>.
- 22 LABS, S. *Senlab O: Indoor Comfort and occupancy monitoring*. Disponível em: <https://sensing-labs.com/portfolio-item/21334/>.
- 23 CLICK, C. *Office: Smart Buildings*. Disponível em: <https://www.comfortclick.com/SmartBuilding/Solutions/Office>.
- 24 AspenCore. *2019 Embedded Markets Study: Integrating iot and advanced technology designs, application development and processing environments*. embedded, 2019. Disponível em: https://www.embedded.com/wp-content/uploads/2019/11/EETimes_Embedded_2019_Embedded_Markets_Study.pdf.
- 25 ELETRONIC ENGINEERING TIMES. *EETimes*. Disponível em: <https://www.eetimes.com>.
- 26 ASPENCORE. *embedded*. Disponível em: <https://www.embedded.com>.
- 27 IEEE Standard for Information technology—Telecommunications and information exchange between systems Local and metropolitan area networks—Specific requirements - Part 11: Wireless LAN Medium Access Control (MAC) and Physical Layer (PHY) Specifications. *IEEE Std 802.11-2016 (Revision of IEEE Std 802.11-2012)*, p. 1–3534, 2016.
- 28 INTEL. *Different Wi-Fi Protocols and Data Rates*. Disponível em: <https://www.intel.com/content/www/us/en/support/articles/000005725/network-and-i-o/wireless-networking.html>.
- 29 Dong, J. et al. Indoor passive ranging based on wifi. p. 1, 2014.
- 30 IEEE Standard for Low-Rate Wireless Networks. *IEEE Std 802.15.4-2020 (Revision of IEEE Std 802.15.4-2015)*, p. 1–800, 2020.
- 31 NOVELBITS. *Bluetooth 5 BLE: Achieving maximum throughput*. Disponível em: <https://www.novelbits.io/bluetooth-5-speed-maximum-throughput/>.

- 32 CILFONE L. DAVOLI, L. B. A.; FERRARI, G. Wireless mesh networking: An iot-oriented perspective survey on relevant technologies. *Future Internet*, p. 27–31, 2019.
- 33 AMAZON WEB SERVICES. *AWS IoT Core*. Disponível em: <https://aws.amazon.com/pt/iot-core/>.
- 34 ESPRESSIF. *ESP32*. Disponível em: <https://www.espressif.com/en/products/modules/esp-wroom-32/overview>.
- 35 ESPRESSIF SYSTEMS. *ESP32 Series datasheet*. [S.l.], 2020. Disponível em: https://www.espressif.com/sites/default/files/documentation/esp32_datasheet_en.pdf.
- 36 AMS. *Datasheet AS7262*. [S.l.], 2017. Disponível em: https://br.mouser.com/datasheet/2/588/AS7262_DS000486_2-00-1513124.pdf.
- 37 DATASHEET BME280. [S.l.], 2018. Disponível em: <https://br.mouser.com/datasheet/2/783/BST-BME280-DS002-1509607.pdf>.
- 38 SENSIRION. *Datasheet SGP30*. [S.l.], 2020. Disponível em: https://br.mouser.com/datasheet/2/682/Sensirion_Gas_Sensors_SGP30_Datasheet-1843629.pdf.
- 39 CORP, N. T. P. A. *TP4056 Datasheet*. [S.l.]. Disponível em: <https://dlnmh9ip6v2uc.cloudfront.net/datasheets/Prototyping/TP4056.pdf>.